

التقييم الاقتصادي الطاقي والبيئي لأنظمة تكييف الهواء التبخيرية التجفيفية والهجينة

د.م. وجيه ناعمة

أستاذ مساعد في قسم الميكانيك العام - كلية الهندسة الميكانيكية الكهربائية - جامعة دمشق - سوريا

الملخص

يهدف البحث لتقييم دارات التبريد التبخيري التجفيفي الهجينة DECH (desiccant evaporative cooling hybrid cycles) ذات معامل نسبة طاقة كفوفة عال مع تأثير بيئي قليل وتوفر في الطاقة إذا قورنت مع الدارات التقليدية وكذلك هواء تغذية نقى بشكل كامل. انجز البحث في جامعة دمشق وتم دراسة استهلاك الطاقة، قيمة EER (Energy-Efficient- Ratio) وكلفة التشغيل لاربع نماذج ثلاثة منها لنظام دارة التبريد التجفيفي الهجينة DECH والرابع الدارة التقليدية وذلك بمنطقة نظام العمل لكل دارة بمساعدة برمجيات (EES) Engineering Equation Solver اعتمد في اجراء الحسابات المخطط البيكمومترى للهواء، البيانات المناخية الساعية المستخلصه من الارصاد الجوية لمدينة دمشق. تم حساب الحمل التبريدي الكلى Q_{tot} وقيمة نسبة مشاركة الحمل التبريدي المساعد من الوسيعة التقليدية Q_{aux}/Q_{tot} ، استهلاك الطاقة، قيمة EER وكلفة التشغيل لنظام تجفيفي لشروط الصيف في دمشق لأجل صالة بيع. من خلال الدراسة والحسابات وتقدير النتائج ، تم الحصول على توفير هام يصل حتى 47% وكذلك تخفيض لطاقة الحمل التبريدي Q_{tot} حتى 70% ، اضافة لذلك خفض كمية انبعاثات ثاني اكسيد الكربون المسبب للانحباس الحراري وتغير المناخ، الكلفة الناتجة لأنظمة التجفيف عادة أكبر من الأنظمة التقليدية، بينما نتائج البحث فترة استرداد رأس المال والتي بلغت حوالي 5-7 سنوات .

الكلمات المفتاحية : دارة تكييف و تهوية، الدولاب المجفف، توفير الطاقة -

حماية بيئية

جدول الرموز والمصطلحات

| | |
|--|------------------------|
| مساحة سطح التبادل الحراري في المسترجع الحراري الدوار | $A : [m^2]$ |
| المساحة الامامية للمصفوفة | $A_{fr} : [m^2]$ |
| معامل السطح(نسبة مساحة سطح التبادل الحراري على حجم المسترجع الحراري) | $\beta [m^2 / m^3]$ |
| معامل أداء الدارة | COP |
| تدفق السعة الحرارية | $c [kJ / S.K]$ |
| تدفق السعة الحراري الأعظمي | $c_{\max} [kJ / S.K]$ |
| تدفق السعة الحرارية الأصغرى | $c_{\min} [kJ / S.K]$ |
| تدفق السعة الحرارية لمادة جدار المصفوفة | $cr [kJ / S.K]$ |
| السعه الحرارية لجدار المصفوفة | $c_* [kJ / S.K]$ |
| العدد الابعدى لتدفق السعة الحرارية للهواء | $C^* [kJ / SK]$ |
| العدد الابعدى لتدفق السعة الحرارية لجدار المصفوفة | $C^* [kJ / SK]$ |
| قطر المسترجع الحراري الدوار | $D : [m]$ |
| قطر المحور القائم | $d_{shift} : [m]$ |
| حمل التسخين لكل واحد كيلوغرام $1kg$ هواء عائد | $\Delta reg [kJ / kg]$ |
| الأثر التبريدي | $EC [kJ / kg]$ |
| نسبة كفاءة الطاقة | EER |
| الفعالية الحرارية للمسترجع الحراري الدوار | ε |
| الفعالية الحرارية لمسترجع حراري مسطح | ε_{rf} |
| مردود المرطبة | ε_{hum} |
| نسبة التغطية للمصد | $f_{r, seal}$ |
| معامل انتقال الحرارة بالحمل | $h [W / m^2.K]$ |
| أنتالبي الهواء | $h [kJ / kg]$ |
| طول المسترجع الحراري الدوار | $L : [m]$ |
| التدفق الكتلي للهواء | $m [kg / s]$ |
| كتلة مصفوفة المسترجع الدوار | $M_w : [Kg]$ |

| | |
|------------------------------------|--------------------------|
| سرعة دوران المسترجع الحراري الدوار | $N[1/S]$ |
| عدد واحات التبادل الحراري | NTU_0 |
| ذ الرطوبة للهواء | $\omega[kg_w/kg_{da}]$ |
| الرطوبة النسبية للهواء | Φ |
| الحمل الحراري الكامن | $Q_{lat}:[kWh]$ |
| الحمل الحراري المحسوس | $Q_{sen}:[kWh]$ |
| الكثافة | $\rho[kg/m^3]$ |
| المسامية | σ |
| القطاع الزاوي لعبور الهواء | $\theta:[\text{degree}]$ |
| درجة الحرارة | $T:[^\circ\text{C}]$ |
| درجة الحرارة الرطبة | $T_*:[^\circ\text{C}]$ |

اللواحق

| الطوية | |
|---|------------------|
| الطرف البارد (نسبة إلى دخوله إلى المسترجع الدوار) | c |
| الطرف الحار (نسبة إلى دخوله إلى المسترجع الدوار) | h |
| السفلي | |
| طرف التجفيف من المجفف الدوار | deh |
| الطرف البارد | c |
| الطرف الحار | h |
| نسبة إلى المسترجع الثانوي | scc |
| الدخل | in |
| الخرج | out |
| الغرفة | $room$ |
| المسترجع الحراري الدوار | rot, hx |
| نقطة التغذية | s |
| النقطة بعد المرطبة على طرف الهواء الراجع | m |
| طرف إعادة التشغيل من المجفف الدوار | reg |
| قيمة البارامتر للهواء المشبع | $(\Phi = 100\%)$ |

1. المقدمة

إن صناعة التبريد وتكييف الهواء من أكثر الصناعات استهلاكاً للطاقة الكهربائية حيث يبلغ استهلاك الطاقة لاغراض التكييف في شهر الذروة حوالي نصف الانتاج الكلي للطاقة الكهربائية في القطر السوري ، وبالتالي فهي تساهم بشكل كبير في استهلاك مصادر الطاقة وازدياد التلوث البيئي، كل ذلك دفع باتجاه تطوير تقنيات تكييف هواء ذات استهلاك منخفض للطاقة، أو تعمل باستخدام مصادر طاقة حرارية جديدة أو متعددة كالطاقة الشمسية أو مصدر حرارة ضائعة، مما يؤدي بالنتيجة إلى التوفير في استهلاك الطاقة وتخفيض انبعاثات ثاني أكسيد الكربون، وتحقيق تقنيات تكييف هواء اقتصادية.

2. أهمية البحث

استخدم التجفيف الكيميائي في الماضي، في حقل الصناعة، وفي الأماكن ذات الحمل الكامن الكبير (صالات بيع)، مع ازدياد الطلب على انظمة التكييف نتيجة التغير المناخي والذي ادى لزيادة في استهلاك الطاقة الكهربائية حيث كما هو معروف تستهلك اجهزة التكييف في القطر حوالي 50% من انتاج الطاقة الكهربائية، لذلك تم في هذا البحث دراسة وتقديم انظمة التبريد التجفيفي التبخيري المعروفة و توسيع هذه التقنية الى حقول الابنية التجارية والسكنية دامجاً اياها مع الانظمة التقليدية للتكييف كنظام هجين (تجفيفي وتقليدي) بغية التوفير في تكاليف التشغيل واستهلاك الطاقة وخفض التلوث البيئي.

في الحقيقة، أنظمة تكييف الهواء المعتمدة على المجففات الكيميائية توصف بأنها ذات مردود طاقي كبير وتأثير بيئي قليل (تقلل استهلاك الطاقة الكهربائية بدون وسائط التبريد المعروفة). علاوة على ذلك فانها تسبب ربحاً طاقياً واقتصادياً مقارنة مع أنظمة التدفئة والتكييف التقليدية وتسمح بالحصول على مواصفات راحة حرارية داخلية ومواصفات هواء داخلي افضل Beccali M [2]. درست المفاهيم الأساسية عن التجفيف الكيميائي في المراجع ASHRAE 2008 [1] . المواد

المجففة تكون صلبة أو مائلة. المجففات الصلبة تدخل في مبادل حراري دوار يدعى (Desiccant wheel DW) تستخدم بشكل خاص لتطبيقات التدفئة والتكييف. انجز في هذا البحث تحليلاً لثلاث نماذج لنظام دارة التبريد التبخيري التجفيفي الهجين DECH(desiccant evaporative cooling hybrid cycles) وأنظمة التقليدية وحساب كلفة التشغيل الصيفي وذلك باستخدام نماذج Engineering Equation Solver (EES) برمجية.

3. مواد وطرق البحث

درست عدة مراجع الأشكال المتعددة لأنظمة HVAC مع DW من Camargo (Heating Vantalion and Air Conditioning) [3] أو عدة مراحل وأُستخدمت لتكييف الأبنية بشروط مناخية مختلفة . وتم مقارنة استهلاك الطاقة الكهربائية وتبسيير المقارنة فقط إلى كلفة التشغيل الصيفي بين الأنظمة التقليدية مع وشيعة تبريد تجفيفية وأنظمة تكييف مع مرحلة واحدة DW . كما درس Influence of elevated pressure on sorption in desiccant Wheel [5] أداء دارة التبريد التجفيفي التبخيري للشروط المناخية لمدينة دمشق والحساب الحراري للدارة .

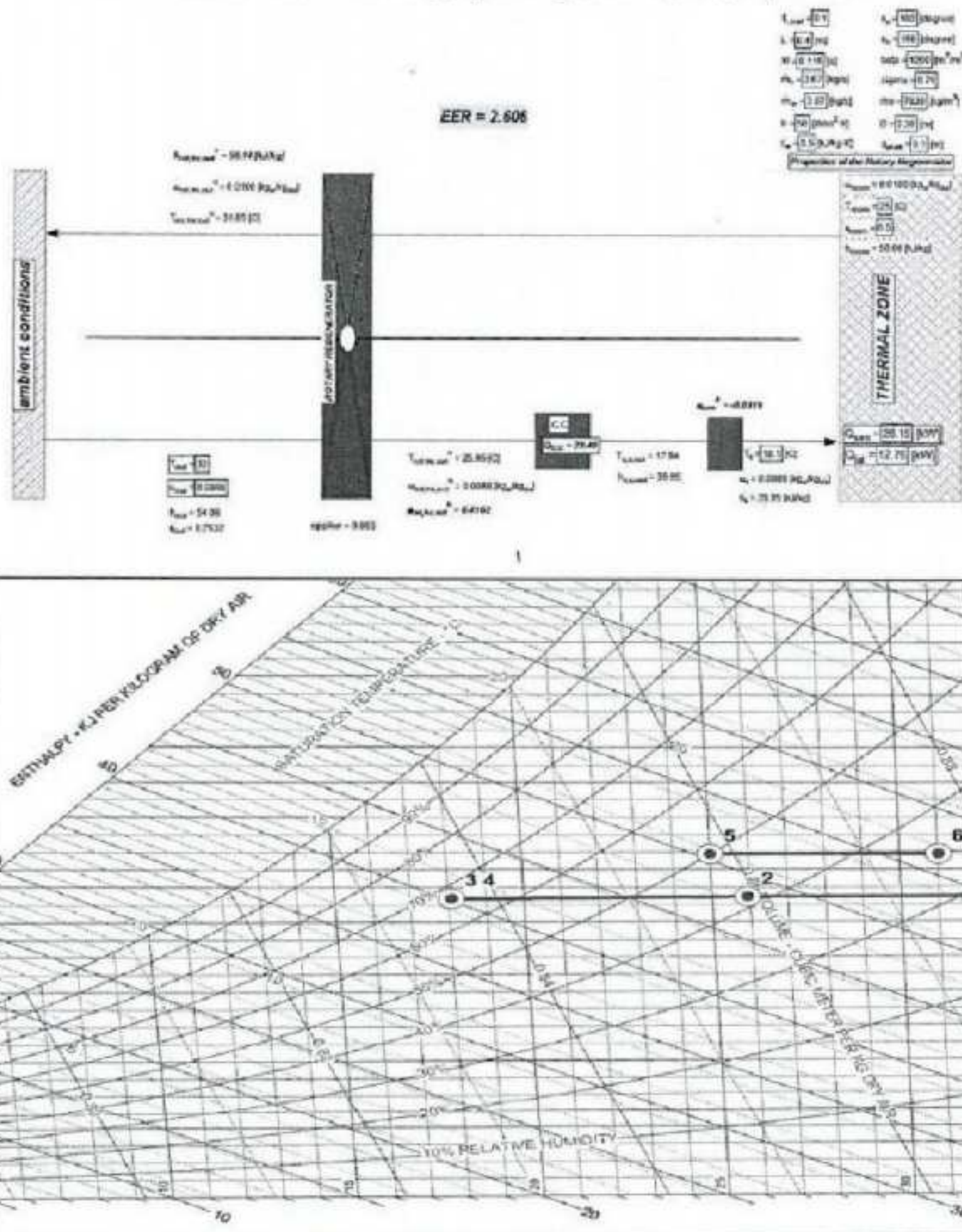
تم في هذا البحث دراسة ونمذجة أربعة درارات (المبنية بالأشكال 1,2,3,4) بهدف التكييف الصيفي، نفذت باستخدام برنامج حاسوبي Engineering Equation Solver (EES). و تمت الحسابات وفقاً لبيانات مناخية متغيرة لمدينة دمشق . مع حساب القيم الساعية لكافة العوامل.

3.1. نماذج الدرارات المقترحة والمدروسة

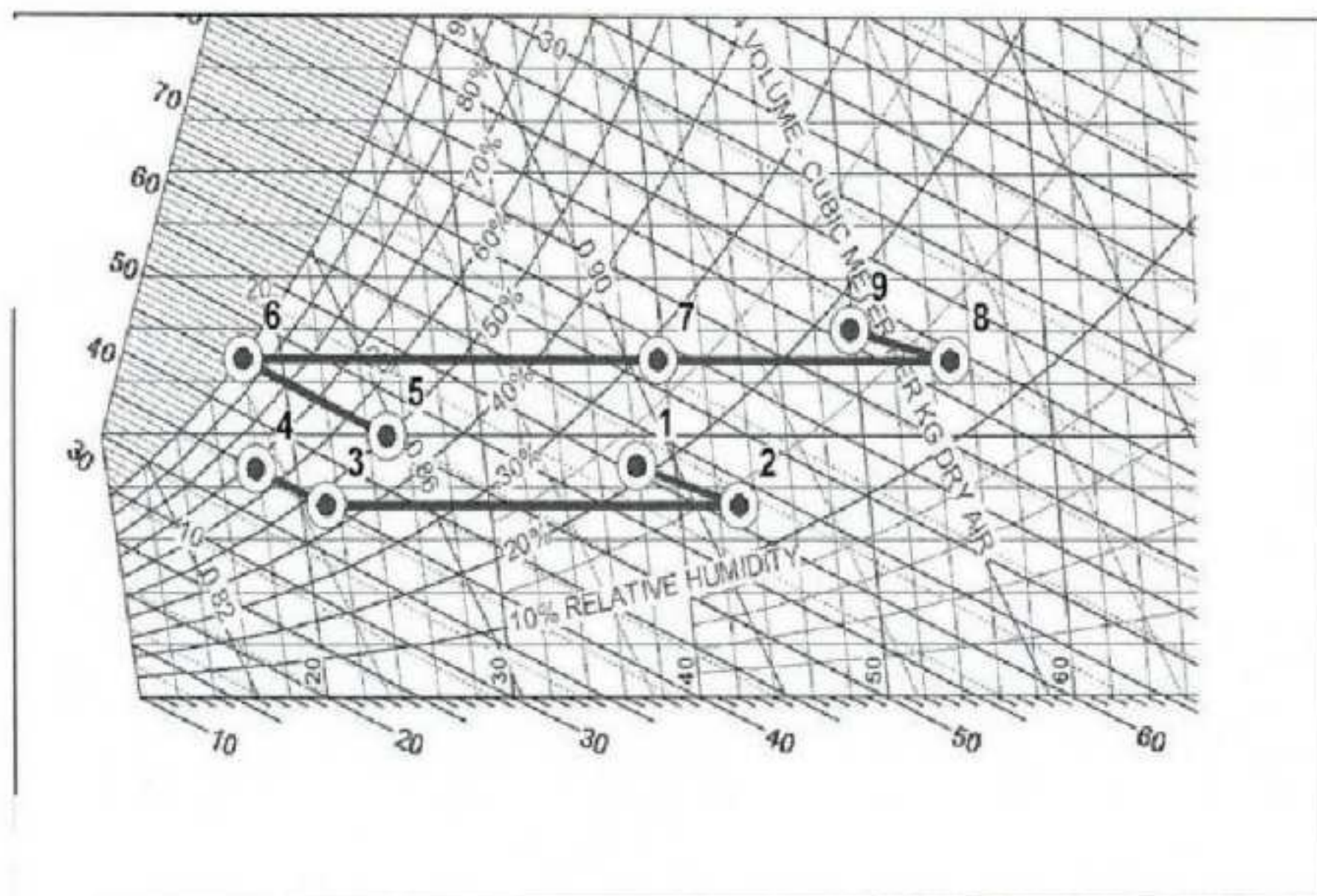
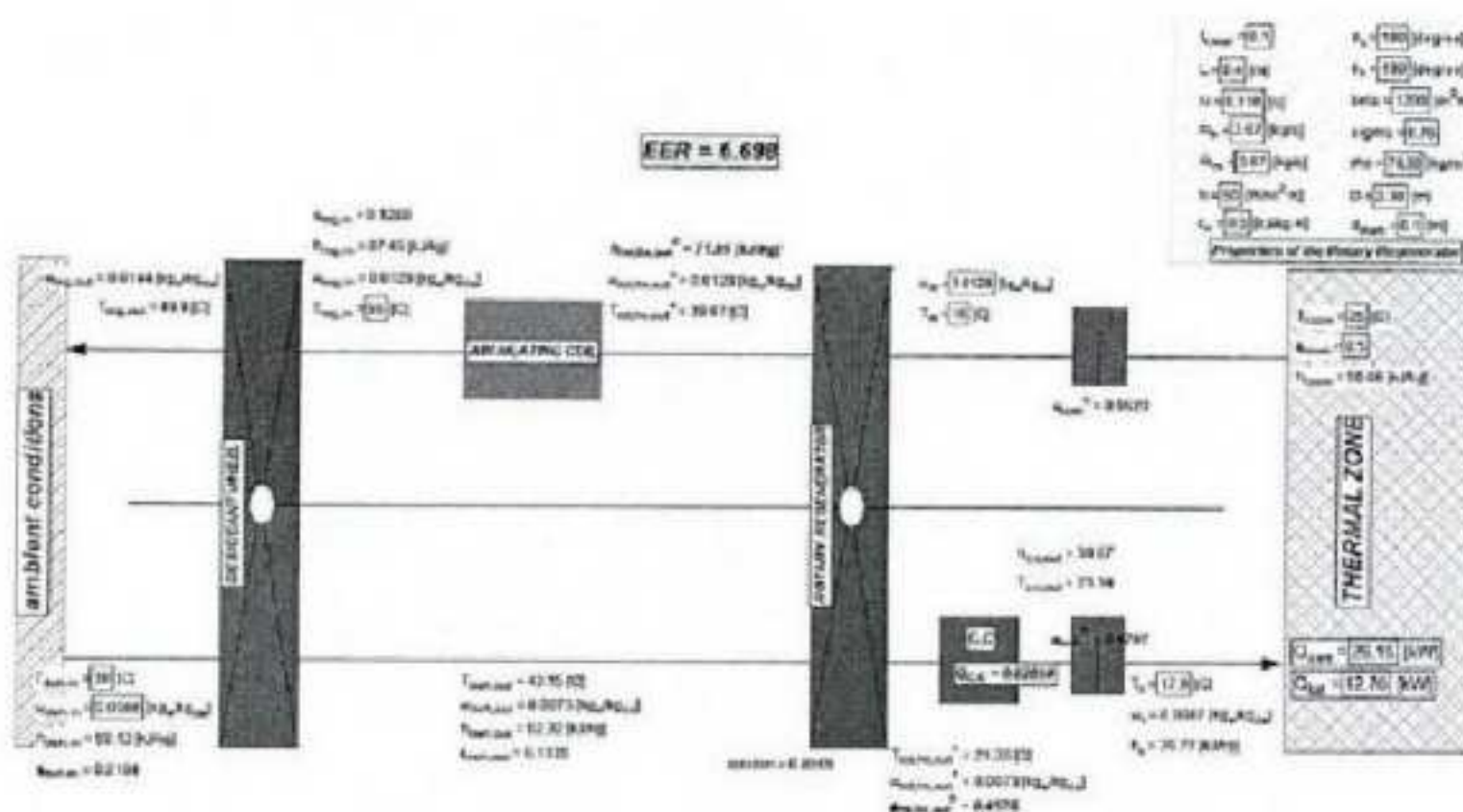
I- نموذج النظام التقليدي: ويتألف من وشيعة تبريد مباشر DX مع مبادل حراري ارجاعي مبين في الشكل 1 .

II- نموذج النظام التجفيفي الهجين مع وشيعة تبريد - مبادل حراري وترطيب (تبخير مباشر) على الطرفين، المنفذ في البرنامج EES مبين في الشكل 2 وسمى في هذا البحث DECH .

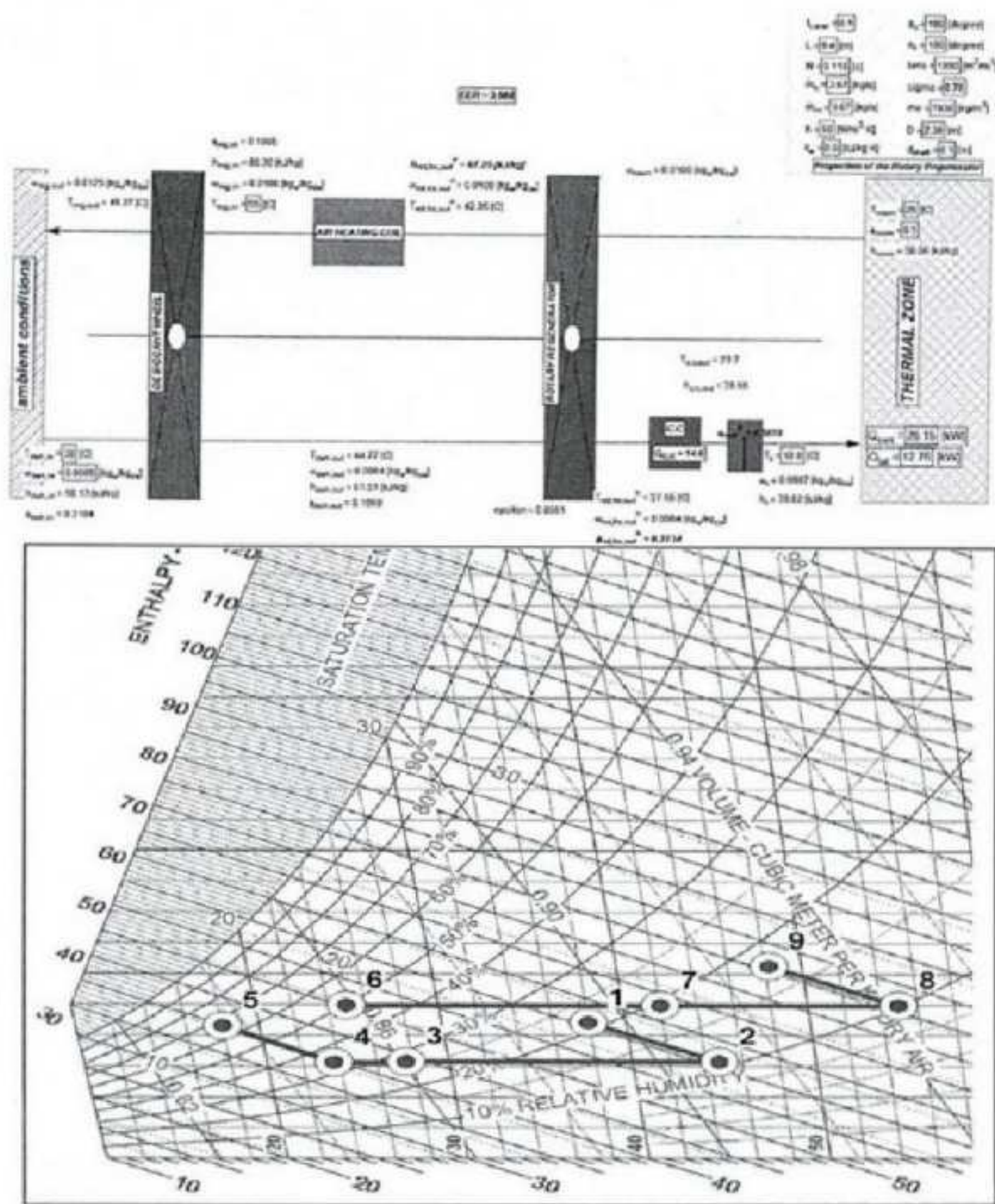
- III- نموذج النظام التجيفي الهجين مع تبريد زائد محسوس - مبادل حراري، وترطيب على خط التغذية فقط مبين في الشكل 3 .
- IV- نظام دارة تبريد تبخيري تجيفي مع ترطيب على الطرفين، الشكل 4.



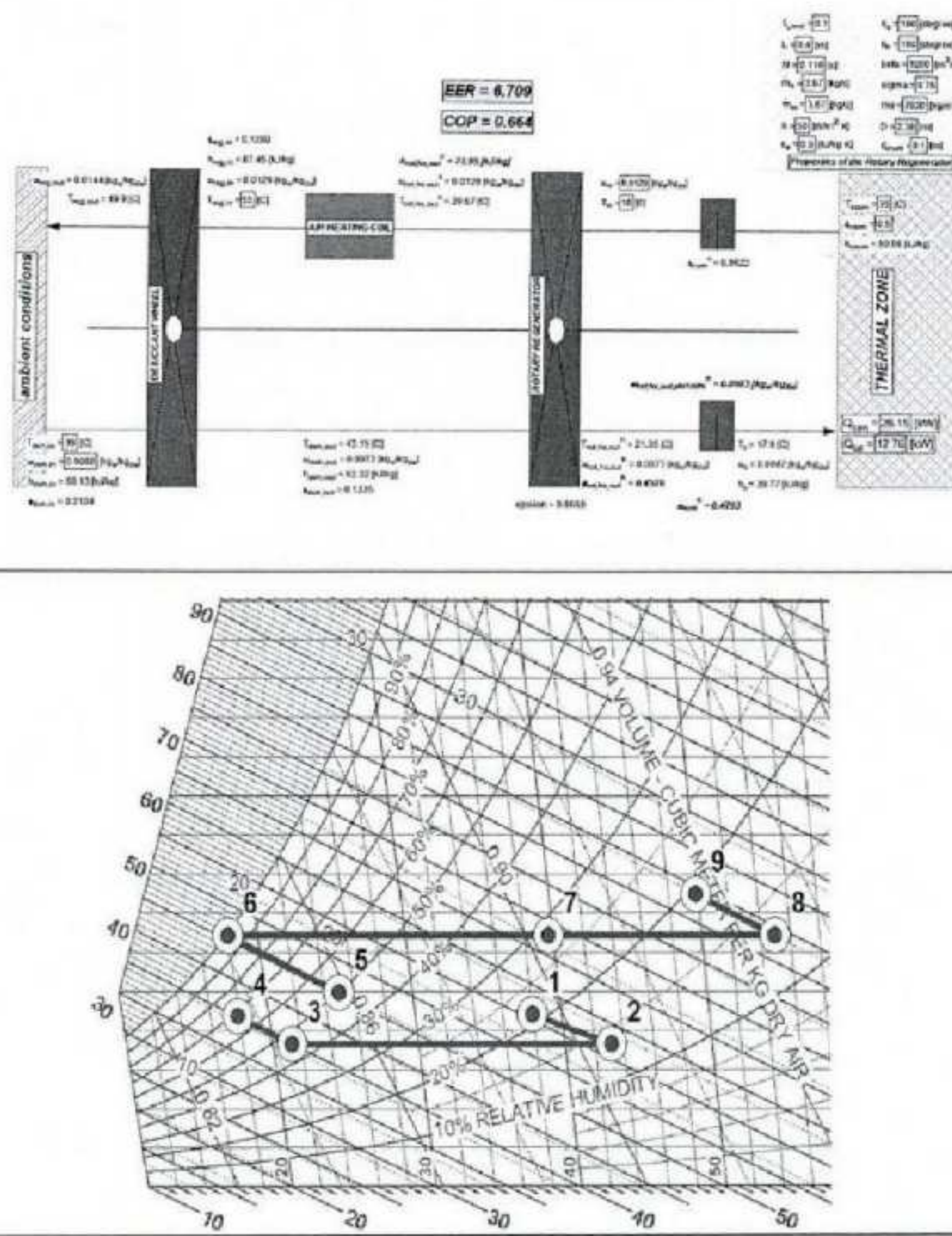
الشكل 1 مخطط الدارة الأولى للنظام التقليدي مع مبادل حراري ارجاعي - تمثيل الدارة على نافذة ادخال البرنامج EES



الشكل 2 النظام التجاري المجهز مع وشيعة تبريد - هواء نقي - مبادل حراري وترطيب على الطرفين



الشكل 3 النظام التجفيفي الهجين مع تبريد زائد محسوس - مبادل حراري، وترطيب على خط التقديمة فقط



الشكل 4 نظام دارة تبريد تبخرى ثجيفي مع ترطيب على الطرفين

درست كافة الدارات لأجل الشروط المناخية لدمشق وفقاً للفرضيات التالية:

- النظام ذو تدفق هواء متغير وبالتالي درجة حرارة المنطقة المكيفة يتم التحكم بها عبر تدفق هواء متغير. تعمل كافة الدارات بـ 100% هواء خارجي، درجات الحرارة الخارجية لمدينة دمشق 40°C - 32°C مع محتوى رطوبة 0.0088 kg/kg_{air} (الشروط التصميمية الداخلية: لأجل نظام تقليدي ومختلط) هجين) : $T_{\text{room}} = 25^{\circ}\text{C}$ $\Phi = 45\%-55\%$ ، درجة حرارة الهواء الخارجي مع الرطوبة النسبية متغيرة للهواء الخارجي تختلف لكل ساعة . مجرى هواء احادي، منطقة مفردة وأنظمة تدفق هواء ثابتة (تدفق الهواء البارد ثابت) ، فترة عمل النظام: الشروط الصيفية (1 حزيران - 30 أيلول) ؛ مجال الزمن الشمسي من الساعة 8 - وحتى 20). درجة حرارة التغذية للنظام التقليدي و DECH الهجين متغيرة من 16°C ، وحتى 20°C ، السعر الوسطي لوحدة الطاقة الكهربائية المعتمدة في دمشق S.P/kWh. 4، السعر الوسطي لوحدة الماء (للترطيب) المأخوذ بعين الاعتبار 25 S.P/m³ ، زيادة التسخين للهواء خلال مروحة التغذية والدكت 1°C . الميزات الأساسية للدولاب المجفف المستخدم في الدارات التجفيفية والهجينة مشرح في المرجع [2] Beccali M . الصفات الأساسية للدولاب المختار هي:

- المواد المجففة: عبارة عن السيليكات المعدنية المثبتة إلى القطاع الدائري للسيراميكي Treg (درجة حرارة تشغيل المجفف) تتغير بين 80°C و 40°C وعمق الدولاب: 200 mm . سرعة دوران الدولاب: 30 r.p.h.

بيانات الأداء المتعلقة بالحالة الخاصة

(تدفق هواء العملية: $\Phi = R_{\text{Hr}} = 50\%$ ، $T_{\text{room}} = 26^{\circ}\text{C}$: $10000 \text{ m}^3/\text{h}$).

انظر الشكل 4

نظام التحكم DW : Treg : DW متغيرة (لكل ساعة، النظام يقيم Treg صغرى لازمة لمتطلبات التجفيف). كما هو مبين في النظام الهجين، أخذت بعين الاعتبار افتراضات أكثر وهي:

- حالة ثابتة لكل ساعة من الحساب.
- الرطوبة النسبية العظمى بعد وشيعة التبريد CC (لأجل النظام التقليدى) : 95%
- مرندود مروحة التغذية والرجوع: 70% .
- انخفاض الضغط في جهة هواء التغذية لأجل: 0.70 kPa و 0.20 kPa من جهة الهواءالرا�ع.
- انخفاض الضغط في جهة هواء التغذية لأجل النظام المختلط: 0.80 kPa و 0.30 kPa من جهة الهواءالرا�ع

ملاحظة : مبين على اشكال الدارات السابقة احد الامثلة المدروسة والمحسوبة

3.2. الدراسة الحرارية لعناصر الدارة التجفيفية التبخيرية

3.2.1. الدراسة الحرارية و الترموديناميكية للمسترجعات:

تمت دراسة المبادل الحراري الاسترجاعي وفقا للمعادلات الناظمة لعمل المسترجع الحراري [6].

$$C_h = \dot{m}_h C_{p,h} \quad (1)$$

$$C_c = \dot{m}_c C_{p,c} \quad (2)$$

$$C_r = M_r C_r N \quad (3)$$

C تحقق السعة الحرارية

الدليل المدقق : للهواء البارد c و الساخن h و جدار المصنوفة w .

علاقة الفعالية الحرارية ε :

إن الفعالية الحرارية للمسترجع تابع لأربع عوامل أساسية :

$$\varepsilon = f(NTU_0, C^*, C_r^*, (hA)^*) \quad (4)$$

حيث :

(hA)* هو عامل تأثيره على الفعالية الحرارية يكون مهملا عندما

$0.25 \leq (hA)^* \leq 4$ و تتراوح قيمته في دارت التكييف من الواحد و لذلك

فإن الفعالية الحرارية في دارات التكييف تتعلق بعوامل ثلاث :

$$\varepsilon = f(NTU_0, C^*, C_r^*) \quad (5)$$

*: العدد الابعدى لتدفق السعة الحرارية و هو النسبة بين تدفق السعة الحرارية الأعظمى و تدفق السعة الحرارية الأصغرى.

NTU_0 : عدد واحات التبادل الحراري.

Cr^* : العدد الابعدى لتدفق السعة الحرارية لجدار مصفوفة و هو النسبة بين تدفق السعة الحرارية لجدار مصفوفة المسترجع و تدفق السعة الحرارية الأصغرى.

من المعادلات المشروحة يعطى المردود الحراري للمسترجع بالعلاقة :

$$\epsilon = \epsilon_{cr} \left(1 - \frac{1}{9C_r^{1.95}} \right) \quad (6)$$

ϵ_{cr} : الفعالية الحرارية لمسترجع حراري مسطح مكافىء ويعطى بالعلاقة:

$$\frac{1 - \exp[-NTU_0(1-C^*)]}{-C^* \exp[-NTU_0(1-C^*)]} \xrightarrow{C^*=1} \frac{NTU_0}{1+NTU_0} \quad (7)$$

Cr^* : ويعطى بالعلاقة :

$$C^* = \frac{C_r}{C_{min}} \quad (8)$$

حيث :

$$\begin{aligned} C_{max} &= Max(C_h, C_c) \\ C_{min} &= Min(C_h, C_c) \end{aligned} \quad (9)$$

$$C^* = \frac{C_{min}}{C_{max}} \quad (10)$$

$$A = \frac{\pi}{4} (D^2 - d_{shaft}^2) \times L \times \beta \times (1 - A_{fr}) \quad (11)$$

$$A_h = \frac{\theta_h}{\theta_t} A \quad (12)$$

$$A_c = \frac{\theta_c}{\theta_t} A \quad (13)$$

$$NTU_0 = \frac{1}{C_{\min}} \frac{1}{\frac{1}{(hA)_h} + \frac{1}{(hA)_c}} \quad (14)$$

درجة حرارة الخروج للهواء الساخن و البارد:

إن الفعالية الحرارية من مفهومها الأساسي تعبر عن نسبة كمية الحرارة المنتقلة بين الهواء الساخن والبارد إلى أعظم كمية حرارة يمكن أن تنتقل بينهما و التي تعطى بالعلاقة :

$$\varepsilon = \frac{q}{q_{\max}} = \frac{q}{C_{\min}(T_{h,i} - T_{c,i})} \quad (15)$$

حيث :

$$q_{\max} = C_{\min}(T_{h,i} - T_{c,i}) \quad (16)$$

$$q = C_h(T_{h,i} - T_{h,o}) \quad (17)$$

$$q = C_c(T_{c,o} - T_{c,i}) \quad (18)$$

ومنه فإن درجة حرارة الخروج للهواء البارد تعطى بالعلاقة:

$$T_{c,o} = T_{c,i} + \frac{\varepsilon \cdot C_{\min}(T_{h,i} - T_{c,i})}{C_c} \quad (19)$$

وللهواء الساخن :

$$T_{h,o} = T_{h,i} - \frac{\varepsilon C_{\min}(T_{h,i} - T_{c,i})}{C_h} \quad (20)$$

2. 2. 3. الدراسة الحرارية والترموديناميكية لعمل المجفف الدوار Yunus

: [10] A

من أجل تقييم أداء مجفف دوار من (Silica Gel) تم الاعتماد على معادلين بسيطين تم الحصول عليهما من خلال ربط عدد كبير جداً من القيم التجريبية، وفقاً لبيانات مصنع المجففات وقد قام بهذا العمل (Beccali et al.) [2] وبيتوا أن هاتين المعادلين تقيمان أداء المجفف الدوار بشكل جيد جداً.

تعطى المعادلتان التاليتان حالات خروج هواء التغذية من المجف ممثلة بالاتالي وبالرطوبة النسبية:

$$h_{dch,out} = 0.1148.h_{reg,in} + 0.8852.h_{dch,in} - 0.9474 \quad (21)$$

حيث:

$h_{dch,out}$: انتالبي هواء التغذية عند خروجه من المجف [kJ/kg].

$h_{reg,in}$: انتالبي هواء إعادة التشغيل [kJ/kg].

$h_{dch,in}$: انتالبي هواء التغذية قبل دخوله إلى المجف [kJ/kg].

$$RH_{dch,out} = 0.9428.RH_{reg,in} + 0.0572.RH_{dch,in} \quad (22)$$

حيث:

$RH_{dch,out}$: الرطوبة النسبية لهواء التغذية عند خروجه من المجف.

$RH_{reg,in}$: الرطوبة النسبية لهواء إعادة التشغيل.

$RH_{dch,in}$: الرطوبة النسبية لهواء التغذية قبل دخوله إلى المجف.

3.2.3 دراسة المرطبات

تعتمد عمليات التبريد التبخيري المباشر (ترطيب) في أنظمة التكييف على مبدأ التبريد التحفيزي التبخيري. يتم الاعتماد على مرطبات الماء السائل فقط حيث لابن استخدام مرطبات البخار غير مفيد في هذا النوع من الأنظمة.

هناك العديد من أنظمة الترطيب حيث يتم الاختيار اعتماداً على :

نوعية الماء (قساوة الماء)، الطول الإجمالي للمرطبة، مفائد الضغط، التكاليف الأساسية للنظام. أحد أنواع الترطيب ويدعى الترطيب بالترذيز يتم فيه ترذيز الماء بشكل كبير محدثاً ضباباً داخل هواء التغذية (. يتميز هذا النوع بمفائد ضغط منخفضة وفعالية عالية (عند فعالية ترطيب 90% فإن مفائد الضغط تعادل 50 kPa) إلا أن هذا النوع من المرطبات له أطوال كبيرة وتكاليف أساسية عالية [7].

مردود المرطوبة E_{hum} هو النسبة بين الزيادة في محتوى الرطوبة لهواء التغذية إلى أكبر زيادة في محتوى الرطوبة يمكن الوصول إليها (أي عند رطوبة نسبية لهواء العملية 100%).

$$E_{hum} = \frac{W_{in} - W_{out}}{W_{in} - W_{max}} \quad (23)$$

3. 3. 4 حساب الأحمال الحرارية التبريدية باستخدام برنامج المحاكاة :TRNSYS 16

تم الحساب بهذه الطريقة أيضاً باعتماد جداول ASHRAE ولكن يتم الحساب على أساس محاكاة الحالة الحقيقة للحمل حيث يتم استخدام المعلومات المناحية من الارصاد الجوية، درجات الحرارة الجافة والرطبة و الرطوبة النسبية و الإشعاع الشمسي وكل معلومات الطقس (التي تم بناءها استناداً إلى قراءات لمدة 30 عام) لبرنامج المحاكاة إضافة إلى إمكانية تحديد عدد الأشخاص الموجودين في كل ساعة عمل و مدة الإضاءة و تغير قيمتها طوال اليوم و يمكن إهمال حساب أيام العطل الأسبوعية و الرسمية (حيث أنه من الممكن تواجد الحمل الأعظمي في إحدى هذه الأيام). تم اعتماد الحمل الحراري المحسوب باستخدام هذه الطريقة (حيث تم حساب أيام العطل) و اختيار التجهيزات المناسبة له Wajih Naimeh [9].

3. 3. 5 دارة التنشيط الشمسي:

تحتاج دارات التبريد التجيفي التبخيري كغيرها من دارات التبريد الحراري إلى منبع حراري . إن الحرارة في دارات التبريد التجيفي التبخيري تصرف على رفع درجة حرارة هواء إعادة التنشيط (الهواء الراوح من الغرفة) وذلك قبل دخوله إلى الدوّاب المجفف. إن هذا الارتفاع في درجة الحرارة هو ضروري لعمل المجفف حيث أنه عند ارتفاع درجة حرارة هواء إعادة التنشيط فإن ضغط الإشباع لبخار الماء الموجود في الهواء يرتفع مما يزيد قابلية الهواء لاحتواء

كمية أكبر من الماء ومنه عند دخوله إلى المجف يتم سحب الماء من المادة المجففة و وبالتالي إعادة تشغيلها.

إن هذا المنبع الحراري يمكن أن يكون منبعاً حرارياً تقليدياً (مرجل - سخان كهربائي). ولكن وبسبب درجات الحرارة المطلوبة المنخفضة نسبياً إضافة إلى أن الدارة هي دارة تكييف صيفي (أي أن وقت عمل الدارة يوافق وقت الإشعاع الشمسي الأعظمي من السنة) أدت إلى جعل الطاقة الشمسيّة المنبع الحراري الأنسب لهذه الدارة . [4]Heat and Mass Transfer 2006

3.3.6 وشيعة التبريد

CC هي وشيعة تبريد تتمدّد مباشرة، وبالتالي الأنظمة المحمولة هي وحدات تمدد مباشرة مجمعة (فوق السطح) EER. المتوسطة الفصلية لوحدة التبريد للنظام المختلط.

المكثف هو وحدة التبريد، بدون مبادل حراري استرجاعي للنفايات.

3.3.7 الحمل الحراري للمكان المكيف وتدفق هواء التغذية :

يحسب تدفق هواء التغذية m_s في النظام الهجين من معادلة توازن الطاقة عند الشروط التصميمية التالية:

$$Q_{tot} = m \cdot (h_r - h_s) \quad (24)$$

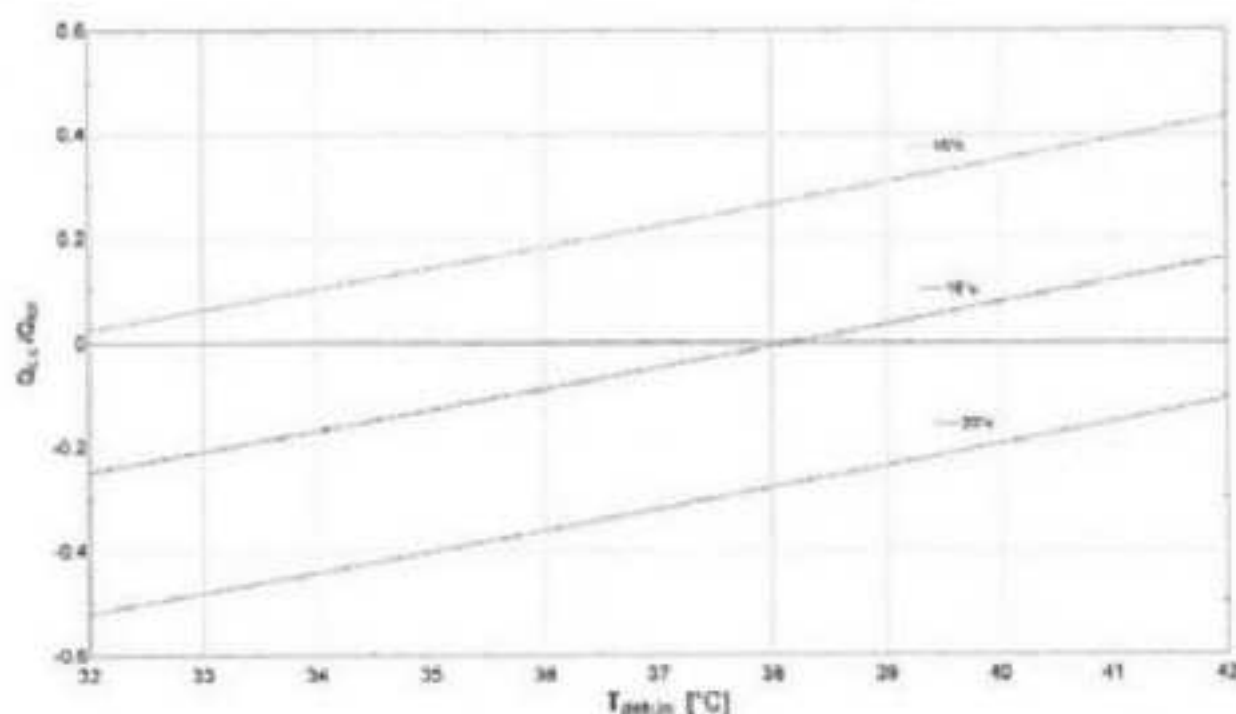
يحدد الحمل الحراري للمكان المكيف في هذه المعادلة باستخدام الشروط التصميمية التبريدية المحددة أعلاه باستخدام برنامج المحاكاة TRNSYS 16 :

و Φ_{room} ثابتة من قبل المستخدم وبالتالي تحسب h_r و h_s . ثم T_{room} لكل ساعة لأعمال حرارية متعددة، نقطة هواء التغذية s تتغير حسب المعادلة (24) و يمكن أن يقيم استهلاك الطاقة. كما هو معروف حدّدت درجة حرارة تغذية T_s وفقاً لقيمة SHR النظام التقليدي: يبرد تدفق هواء التغذية أولاً إلى T_{rot} بواسطة المبادل الحراري الاسترجاعي . (إذا كان $T_{rot,hx} \leq T_{room}$ ، فالاسترجاع الحراري غير ملائم، وبالتالي فإن هواء التهوية يأتي مع مجرى الهواء الخارجي)، ثم يمزج مع الهواء الراوح (r) . الهواء الممزوج (m) يبرد ويجفف بواسطة CC حتى الحالة CC، النظام الهجين: هواء التهوية (o) يجفف في الدولاب المجفف

حتى deh , يبرد حتى hx . T_{rot} ، بواسطة المبادل الارجاعي المحسوس، أخيراً المروحة/الذكبات تُسخن حتى النقطة s .

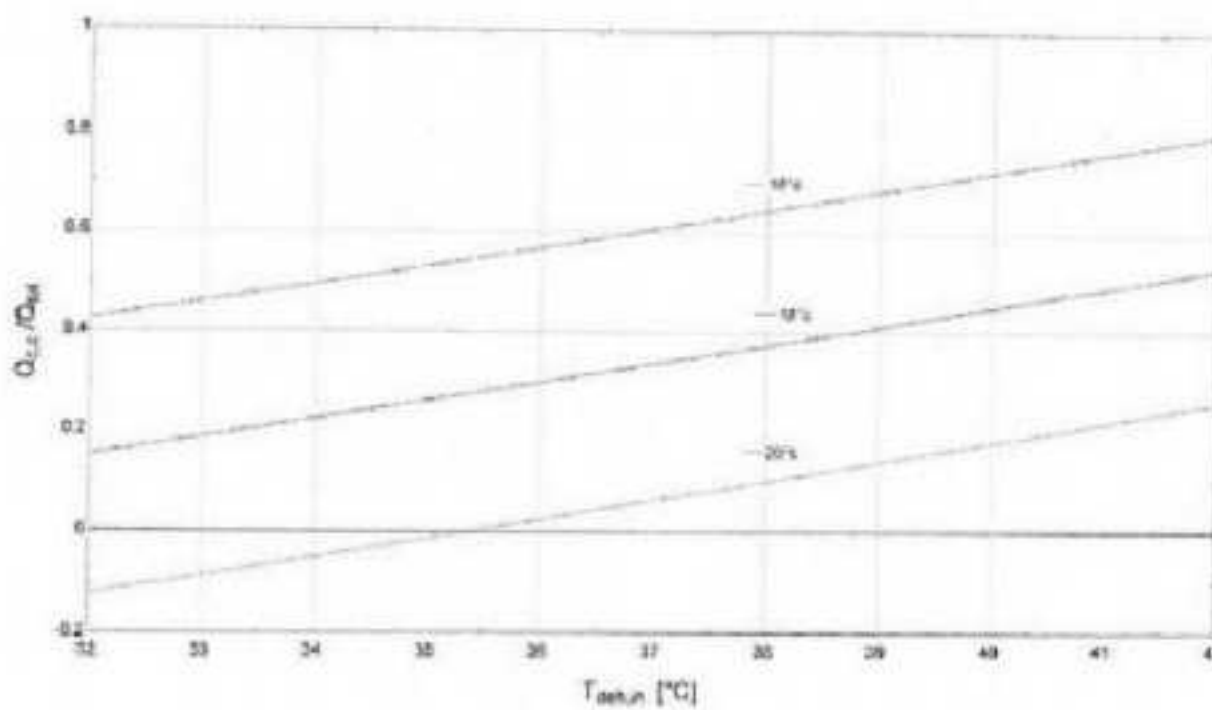
3. 3. 8 اجراء عملية التمنجنة :

درست الدراسات السابقة واخذت مثال عملى صالة بيع وتم التركيز على نسبة مشاركة وشيعة التبريد التقليدية بالنسبة للحمل التبريدى اللازم $Qcc/Qtot$ كتابع لتغير الشروط الخارجية ودرجة حرارة هواء التغذية كما هو مبين في الشكل 5 للدارة الثانية. نلاحظ من الشكل 5 عند درجة حرارة هواء التغذية 20°C لانحتاج ابداً وشيعة التبريد التقليدية حتى درجة خارجية 42°C اما عند درجة حرارة هواء التغذية 18°C يبدأ عمل وشيعة التبريد التقليدية عند درجة خارجية اعلى من 38°C اما عند درجة حرارة هواء التغذية 16°C يبدأ عمل وشيعة التبريد التقليدية عند درجة خارجية اعلى من 32°C



الشكل 5 نسبة $Qcc/Qtot$ كتابع لدرجة الحرارة الخارجية عند درجة حرارة هواء التغذية $16-18-20^{\circ}\text{C}$

وكذلك نتائج الدارة الثالثة مبينة في الشكل 6



الشكل 6 نسبة Q_{ecc}/Q_{tot} كتابع لدرجة الحرارة الخارجية عند درجة حرارة هواء التغذية 16- 18- 20 °C

نلاحظ من الشكل 6 عند درجة حرارة هواء التغذية 20°C يبدأ عمل وشيعة التبريد التقليدية عند درجة خارجية أعلى 35.5°C أما عند درجة حرارة هواء التغذية 18°C يبدأ عمل وشيعة التبريد التقليدية عند درجة خارجية أعلى من 32°C بنساب لا تتجاوز 42% ، أما عند درجة حرارة هواء التغذية C 16° يبدأ عمل وشيعة التبريد التقليدية عند درجة خارجية أعلى من 32° وتنصل النسبة حتى 80% ، كما تم حساب معامل كفاءة استهلاك الطاقة EER كتابع للشروط الخارجية ودرجة حرارة تغذية الهواء

$$EER = Q_{tot} / (p_c + p_{dch} + p_{rot, hx} + p_f + p_w)$$

حيث p_c الاستطاعة الكهربائية لدارة التبريد التقليدية

p_{dch} الاستطاعة الكهربائية للدولاب المجمف

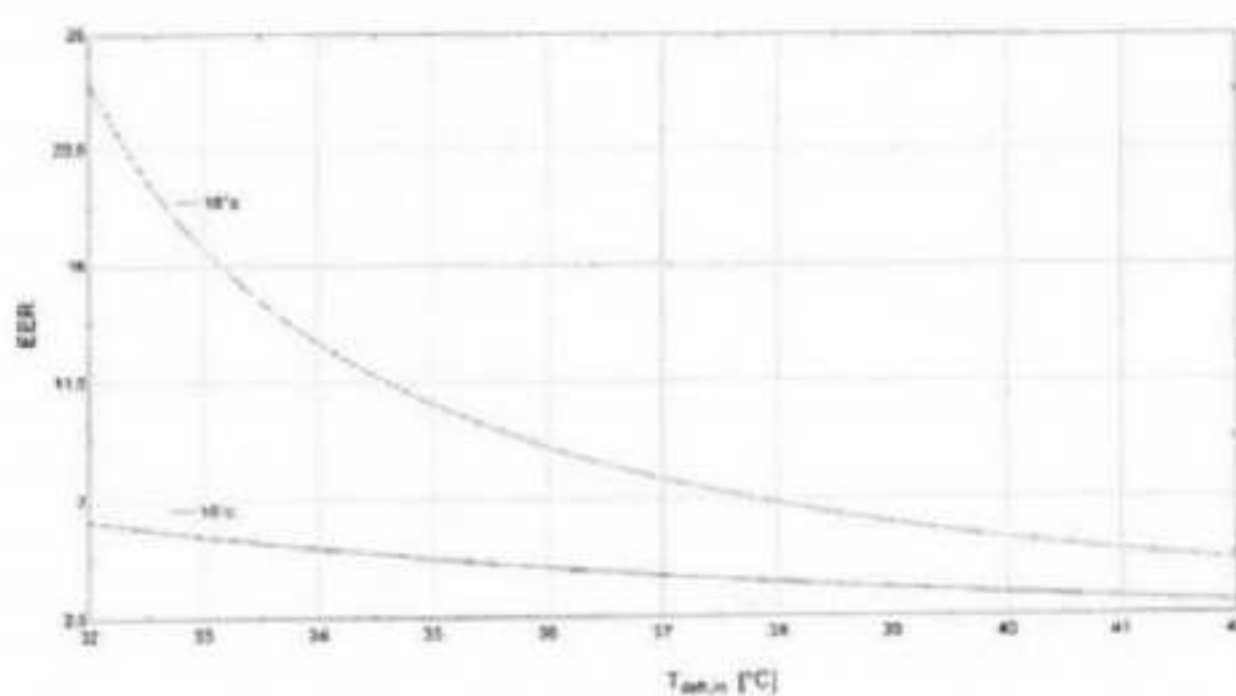
$p_{rot, hx}$ الاستطاعة الكهربائية للمبادل الحراري الارجاعي

p_f الاستطاعة الكهربائية لمروحة التغذية والطرد

p_w الاستطاعة الكهربائية للمرطبات

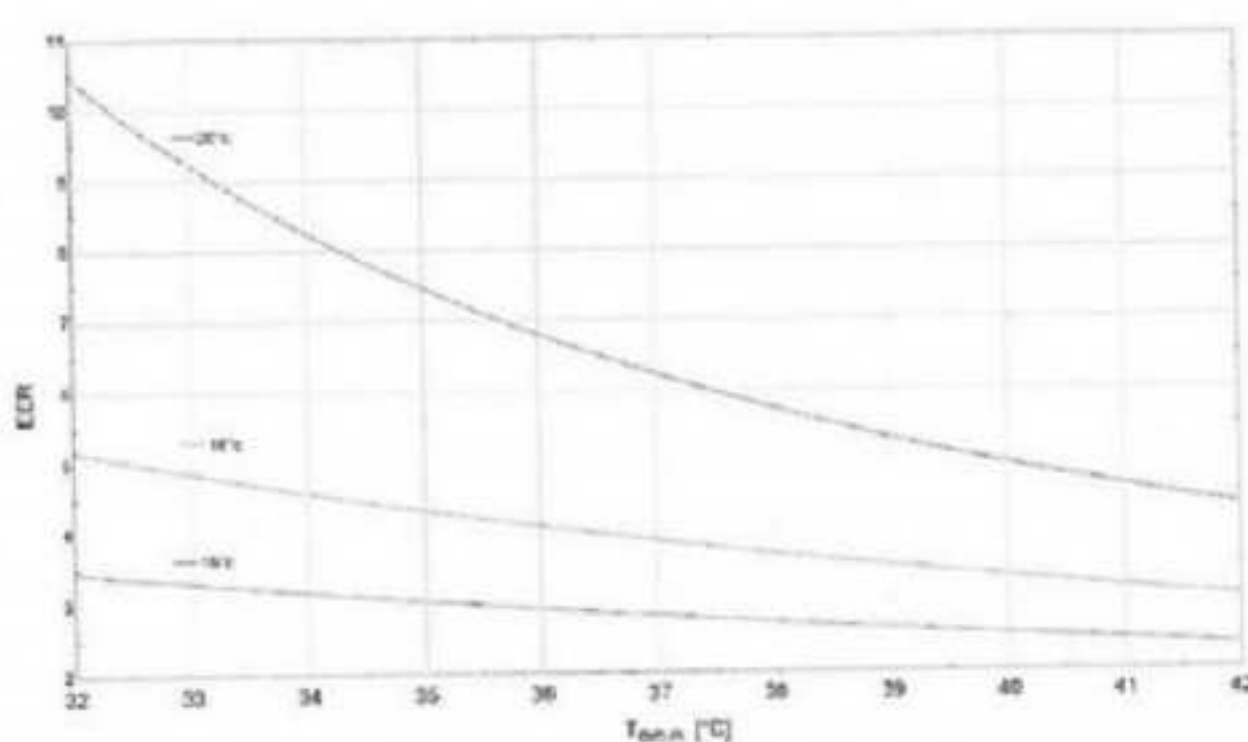
Q_{tot} حمل التكييف اللازم

يبين الشكل 7 نتائج الدارة الهجينة الثانية



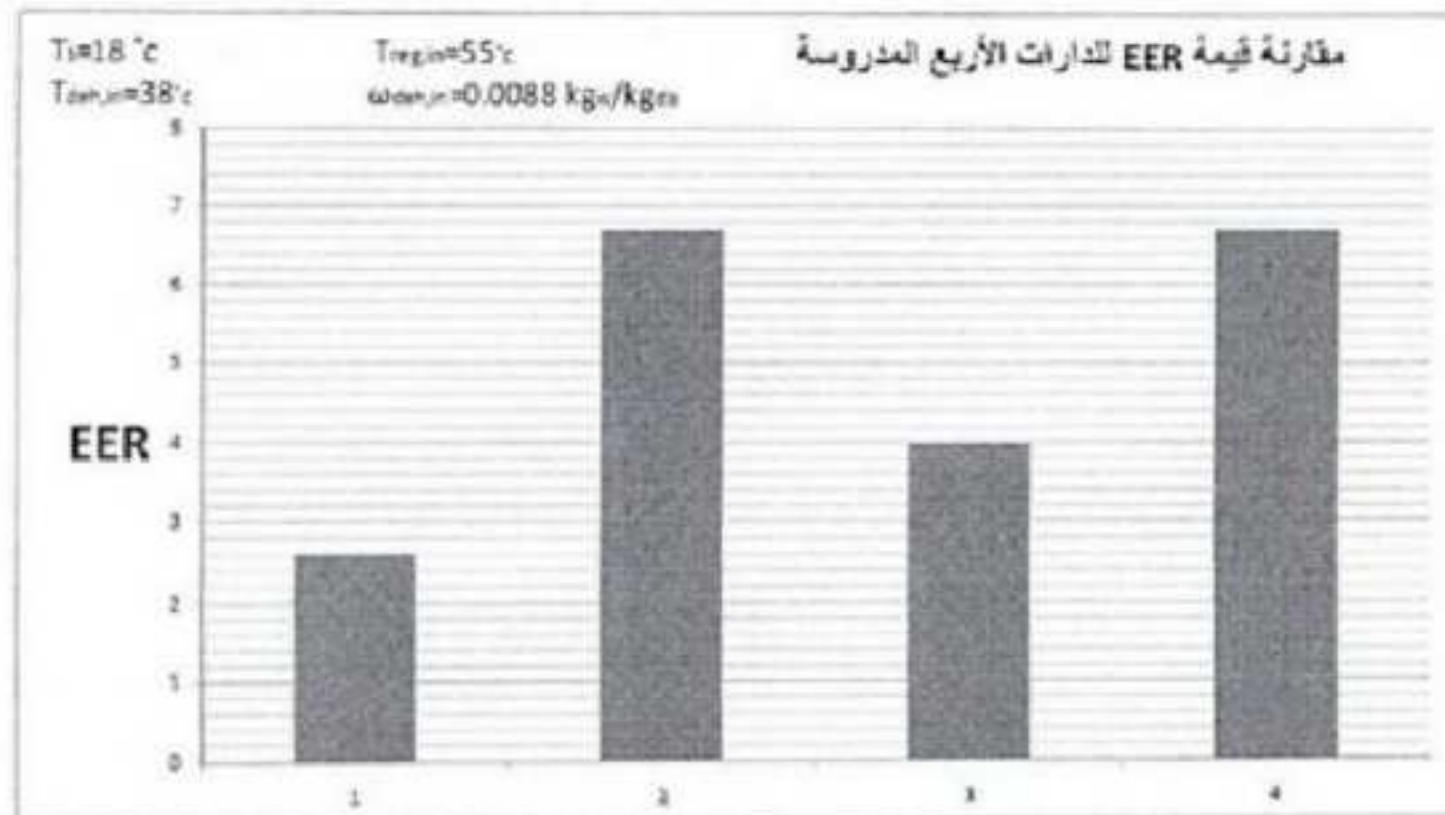
الشكل 7 معامل كفاءة استهلاك الطاقة EER كتابع للشروط المخارجية ودرجة حرارة تغذية الهواء 16-18 °C-20 °C للدارة الثانية الهجينة

ونتائج الدارة الثالثة في الشكل 8



الشكل 8 معامل كفاءة استهلاك الطاقة EER كتابع للشروط المخارجية ودرجة حرارة تغذية الهواء 16-18-20 °C للدارة الثالثة الهجينة

فورنت نتائج الدارات الاربعة عند الشروط المدروسة ولخصت في الشكل 9



الشكل 9 معامل كفاءة استهلاك الطاقة EER كتابع للشروط الخارجية ودرجة حرارة الهواء 18°C

للدارات 1، 2، 3، 4

4. النتائج والمناقشة

من أجل تقييم توفير تكاليف الاستثمار (التشغيل) الذي نحصل عليه باستخدام أنظمة التجفيف نسبة الى الأنظمة التقليدية، نوقشت النتائج الحسابية لكمية استهلاك الطاقة الصيفي وكلفة التشغيل للنظام التقليدي وأنظمة التجفيف اليهودية (DECH) ولخصت كما يلى :

نلاحظ من الشكل 9 بان قيمة EER للدارة الثانية مرتفع يصل الى 6.75 وهي قيمة مرتفعة اذا ما قورنت مع قيمة EER للدارة التقليدية التي لا تتجاوز 2.6 وللدارة الثالثة يصل حتى 4 وللدارة الرابعة التبخيرية التجفيفية فقط يصل الى 6.75 ايضا وبذلك تكون الدارة الثانية والرابعة هي الافضل وتقدم التوفير المطلوب .

طاقة التبريد الحرارية Q_{cc} المحتاجة من وشيعة التبريد والنسبة المئوية Q_{cc}/Q_{tot} بالنسبة للنظام التقليدي مبينة في الشكل 6 .
 كلفة التشغيل الكلية للدارة الثانية C_1 اقل مقارنة مع النظام التقليدي توفر التشغيل للنظام التجفيفي يصل الى (35-40%)

التوفر في استهلاك الكهرباء للنظام الهجين DECH يتراوح 35-47% أنظمة التجفيف جيدة التحكم، في كل الشروط، RH و T_w الداخلية. نسبة الحمل المحسوس إلى الحمل الكلي لوشيعه التبريد تقريرًا دائمًا أكبر من 0.75، في بعض الأحيان لا تسمح بالتحكم في الأحمال الكامنة الكبيرة. كما بينت الدراسة الكلفة الأساسية للنظام التجفيفي أكبر بالنسبة للنظام التقليدي، على كل حال، بالرجوع إلى السوق تبين زمن استرداد قيمة النظام الهجين DECH 3-4 سنوات ، أيضًا بمراعاة النظام التقليدي مقارنة مع الوحدة السقافية التقليدية، تحقق استرداد حوالي خمس إلى سبع سنوات كما هو في Ursula . [8]Eicker

5. الاستنتاجات والتوصيات

نحصل في هذا البحث على كلفة التشغيل الصيفية لنظام تكييف الهواء التقليدي وأنظمة تبريد تجفيفية وهجين مختلفة ، لخصت النتائج المتعلقة للتطبيق العملي لصالحة بيع (SHR الأساسية ≈ 0.75) ، في الشروط الصيفية، كما يلي: تصل قيمة التوفير في كلفة التشغيل للنظام التجفيفي حتى 40 % مقارنة مع النظام التقليدي ، إذا كانت الطاقة الحرارية المطلوبة لإعادة التنشيط وإعادة التسخين مقدمة من الحرارة الصناعية، فإن قيمة التوفير في استهلاك الطاقة يصل حتى 78% . ونتيجة لذلك التقليل من انبعاثات ثاني أكسيد الكربون حيث أنه مقابل توفير كل واحدطن تبريدي يقابلها تخفيض واحد كغ من انبعاثات ثاني أكسيد الكربون . درجة حرارة إعادة التنشيط T_{reg} في الدوّاب التجفيفي DWs مع المواد المجففة المستعملة للنظام التجفيفي (تقريبًا دائمًا أقل من 70 °C)، كما هو معتبر. إذا الدوّاب تسمح بتخفيض الطاقة الحرارية المطلوبة لإعادة التنشيط والطاقة الحرارية الكلية المطلوبة، وتعزز استثمار الحرارة الصناعية أو الطاقة الشمسية . أنظمة التجفيف جيدة التحكم في كل الشروط لـ RH و T_w الداخلية. النظام التجفيفي للهجين هو بوضوح نظام تجفيفي مبتكر ومهم، يقدم توفير طاقة

كبير مع امكانية جيدة للسماح براحة حرارية داخلية. الطاقة الحرارية التبريدية المحتاجة تتحفظ (حتى 53%) بالنسبة لـ لنظام التقليدي . توفر التشغيل وتحفيض الطاقة التبريدية يزداد باستعمال تبخير مباشر للأنظمة التجفيفية. توفر التشغيل الممكن تحقيقه مع الأنظمة التجفيفية يعتمد أيضاً على :

الشروط المناخية للموقع المعتبر. الأداء الفعال للدولاب التجفيفي DW . تعتمد كلفة التشغيل أيضاً على الطاقة الكهربائية المحلية وثمن الوقود والتي تتغير مع الزمن. الكلفة الأولية الأساسية لنظام التجفيفي هي عموماً أكبر مقارنة مع النظام التقليدي. الكلفة الحالية (يجب أن نلاحظ كلفة التجهيزات تتغير بشكل سريع نسبياً)، فترة الاسترداد البسيط حوالي 5-7 سنوات تحصل عليها لكلا النظامين 3،2 مع تبخير مباشر. اذا أخذنا بعين الاعتبار بشكل بسيط عدم تسuir DWS ، فترة الاسترداد تحقق قيم أقل حوالي 3-4 سنوات. التوصيات : السعي من اجل استخدام هذه الدارة الهجينه ذات النموذج 2 لما تقدمه من مزايا حسنة . العمل جار لتركيب واختبار هذه الدارة في حرم الكلية . تستخدم دارة التبريد التبخيري التجفيفي لتكيف صالات البيع في عدة مدن المانية منذ بضع سنوات .

المراجع

- [1] ASHRAE 2008, ASHRAE Handbook—Systems and equipment, American Society of Heating, Refrigerating and Air-Conditioning Engineers Inc. Atlanta, GA, USA.
- [2] Beccali M, Butera F, Guanella R, Adhikari R.S. 2003. simplified models for the performance evaluation of desiccant wheel dehumidification. International Journal of Energy Research 27:17-23
- [3] Camargo J.R, Jr Godoy Ebinuma C.D. 2005. An Evaporative and Desiccant Cooling System for Air Conditioning in Humid Climates. J. of the Braz. Soc. of Mech. Sci. & Eng. Vol. XXVII, No. 3 / 243.
- [4] Heat and Mass Transfer 2006 – Second, Revised Edition, Springer.
- [5] Numerical Heat Transfer, Part A: Application, 01 June 2004 “Influence of elevated pressure on sorption in desiccant Wheel”.
- [6] P. Mazzei, F. Minichiello, D. Palma, Desiccant HVAC systems for commercial buildings Applied Thermal Engineering 22 (2002) 545–560.
- [7] “Sorption properties for different types of molecular sieve and their influence on optimum dehumidification performance of desiccant wheels” I.J of Heat and Mass Transfer, 24 May 2006.
- [8] Ursula Eicker “Solar Technologies for Building”, WILEY, 0-471-48637-X.
- [9] Wajih Naimeh, 2008 Performance of Conditioning Desiccant Evaporating Cooling Cycles in Damascus city, Damascus University Journal Vol.24-No.2-2008 Page207-229.
- [10] Yunus A. Çengel & Michael A. Boles“Thermodynamics An Engineering Approach”, McGraw-Hill.

Economical , Environmental And Energitec Evaluation for HVAC Desiccant Hybrid Systems

Dr.Wajih Naimeh

Assistant Professor. Department of Mechanical Power Engineering-Faculty of Mechanical and Electrical Engineering-Damascus University-Syria

Abstract

This research aims to evaluate the DECH (desiccant evaporative cooling hybrid cycles). These cycles have energy efficiency with high EER (Energy-Efficiency-Ratio) and low ambient impact. It can be profitable if compared to traditional cycles . It also allows a better air supply quality. In this research comparative study among (DECH) , desiccant and traditional cycles were achieved. It included consuming energy, Q_{tot} (total cooling load) , ratio assisting cooling load Q_{co}/Q_{tot} EER values, and operating costs . The study was done in Damascus University using EES (Engineering Equation Solver) based on a subdivision of the psychrometric chart . Calculation assumes hourly weather data extracted from Damacus weather file and systems according to Damascus summer conditions in a selling Hall . Interest savings (up to 47 %) were obtained and reduction in ratio assisting cooling load (up to 70 %) as well . Installation costs for desiccant cycles are generally lot more than the traditional cycles. Capital gaining back is obtained in about 5–7 years.

Keywords: DECH cycles, desiccant wheel, energy efficiency, environment-protection